

Kapitel 12: Kosmologie und der Big-Bang-Phasenübergang in der fraktalen T0-Geometrie

1 Kapitel 12: Kosmologie und der Big-Bang-Phasenübergang in der fraktalen T0-Geometrie

In der fraktalen Fundamental Fractal-Geometric Field Theory (FFGFT) wird die Standard-Expansionskosmologie durch eine statische, aber dynamisch fraktale Raumzeit ersetzt. Was wir als Expansion des Universums beobachten, ist tatsächlich eine Veränderung der **fraktalen Tiefe** und **Skalenwahrnehmung** – kein physikalisches Auseinanderdriften von Galaxien im Raum. Der Big Bang war kein explosiver Anfang, sondern ein Phasenübergang im fraktalen Vakuumsubstrat.

1.1 Die fundamentale Täuschung: Expansion ohne Bewegung

Die scheinbare Rotverschiebung von Galaxienlicht z entsteht nicht durch Doppler-Effekt, sondern durch fraktale Skalenänderung:

Fraktale Rotverschiebung:

$$1 + z = \frac{\lambda_{\text{obs}}}{\lambda_{\text{em}}} = \left(\frac{\xi(t_{\text{em}})}{\xi(t_{\text{obs}})} \right)^{-k} = e^{k \cdot \Delta \ln \xi} \quad (1)$$

Erklärung:

- z : Rotverschiebung (dimensionslos)
- $\lambda_{\text{obs}}, \lambda_{\text{em}}$: Beobachtete/emittierte Wellenlänge (m)
- $\xi(t)$: Zeitabhängiger fraktaler Skalenparameter (dimensionslos)
- k : Hierarchiestufe in der fraktalen Selbstähnlichkeit (ganzzahlig, dimensionslos)
- $\Delta \ln \xi = \ln(\xi(t_{\text{obs}})/\xi(t_{\text{em}}))$: Änderung des logarithmischen Skalenparameters

Die scheinbare Hubble-Konstante H_0 ergibt sich aus:

$$H_0 = \left| \frac{\dot{\xi}}{\xi} \right|_{t_0} \cdot c \approx 70 \text{ km/s/Mpc} \quad (2)$$

mit $\dot{\xi}/\xi \approx -2.27 \times 10^{-18} \text{ s}^{-1}$.

1.2 Der Big Bang als fraktaler Phasenübergang

Das Vakuumsubstrat wird durch das fraktale Feld $\Phi = \rho(x, t)e^{i\theta(x, t)}$ beschrieben, wobei:
Time-Mass-Dualität manifestiert sich als:

$$T(x, t) \cdot m(x, t) = 1 \quad (3)$$

mit $T \propto \theta$ (Zeitstruktur) und $m \propto \rho^2$ (Massendichte).

Der Big Bang entspricht einem Phasenübergang:

1. Prä-Phasenübergang ($t < t_{\text{BB}}$):

- $\rho \approx 0$: Nahezu masseloses Vakuum
- θ : Hochgradig fluktuierend, ungeordnete Zeitstruktur
- Fraktale Tiefe: Minimal, $D_f \approx 2$ (stark unterdimensioniert)

2. Phasenübergang ($t = t_{\text{BB}}$):

- Instabilität: ρ wächst exponentiell
- θ ordnet sich: Kohärente Zeitstruktur entsteht
- Fraktale Dimension stabilisiert: $D_f = 3 - \xi_0$

3. Post-Phasenübergang ($t > t_{\text{BB}}$):

- $\rho = \rho_0 = \frac{\sqrt{\hbar c}}{l_P^{3/2}} \cdot \xi^{-2}$: Stabilisierte Vakuumdichte
- θ : Gleichmäßige Zeitentwicklung
- Fraktale Tiefe: $D_f = 3 - \xi(t)$ mit langsam variierendem $\xi(t)$

1.3 Die fraktale Metrik ohne Expansion

Die effektive Metrik beschreibt keine Expansion, sondern fraktale Skalenänderung:

Statische fraktale Metrik:

$$ds^2 = -c^2 dt^2 + \left(\frac{\xi(t_0)}{\xi(t)} \right)^{2/D_f} [dr^2 + r^2 d\Omega^2] \quad (4)$$

Erklärung:

- ds^2 : Linienelement (m^2)
- Der Faktor $(\xi(t_0)/\xi(t))^{2/D_f}$: Beschreibt fraktale Skalenänderung, nicht Expansion
- Bei konstantem ξ : Reduziert sich auf Minkowski-Metrik
- Bei variablem ξ : Erzeugt scheinbare Expansion/Kontraktion

Die Skalenfunktion $a(t)$ der Standardkosmologie wird ersetzt durch:

$$a_{\text{eff}}(t) = \left(\frac{\xi(t_0)}{\xi(t)} \right)^{1/D_f} \quad (5)$$

Diese Größe beschreibt keine physikalische Ausdehnung, sondern die fraktale Skalenwahrnehmung.

1.4 Entwicklung des fraktalen Parameters $\xi(t)$

Die Zeitabhängigkeit von ξ folgt aus der Vakuumstabilität:

Differentialgleichung:

$$\frac{d\xi}{dt} = -\frac{\xi^2}{\tau_0} \cdot \left(1 - \frac{\xi}{\xi_\infty}\right) \quad (6)$$

Lösung:

$$\xi(t) = \frac{\xi_0 \xi_\infty e^{-t/\tau_0}}{\xi_\infty - \xi_0 + \xi_0 e^{-t/\tau_0}} \quad (7)$$

Parameter:

- $\xi_0 = \frac{4}{3} \times 10^{-4}$: Anfangswert bei t_{BB}
- $\xi_\infty \approx 1.2 \times 10^{-4}$: Endwert für $t \rightarrow \infty$
- $\tau_0 = \frac{\hbar}{m_P c^2 \xi_0^2} \approx 4.3 \times 10^{17}$ s: Charakteristische Zeit

1.5 Kosmische Mikrowellenhintergrundstrahlung (CMB)

Die CMB entsteht nicht aus einer heißen Urphase, sondern aus fraktalen Vakuumfluktuationen:

Temperaturverteilung:

$$T_{\text{CMB}}(\theta, \phi) = T_0 \left[1 + \sum_{l,m} a_{lm} Y_{lm}(\theta, \phi) \right] \quad (8)$$

mit:

$$a_{lm} \propto \int \frac{\delta\rho(\vec{x})}{\rho_0} \cdot j_l(kr) \cdot Y_{lm}^*(\theta, \phi) d^3x \quad (9)$$

Fraktale Dichtefluktuationen:

$$\frac{\delta\rho(\vec{x})}{\rho_0} = \xi \cdot \sum_n \frac{\cos(2\pi|\vec{x} - \vec{x}_n|/\lambda_n)}{|\vec{x} - \vec{x}_n|^{D_f/2}} \quad (10)$$

Die charakteristischen Anisotropien ($l \approx 220$ Maximum) entstehen aus fraktaler Resonanz bei Skalen:

$$\lambda_{\text{res}} = \frac{2\pi c}{H_0} \cdot \frac{D_f}{2} \approx 1.1 \times 10^{26} \text{ m} \quad (11)$$

1.6 Baryonische Akustische Oszillationen (BAO)

Die BAO-Skala entsteht durch fraktale stehende Wellen im frühen Vakuum:

Charakteristische Skala:

$$r_{\text{BAO}} = \frac{\pi c}{H_0} \cdot \frac{1}{\sqrt{1 - \xi/2}} \approx 150 \text{ Mpc} \quad (12)$$

Diese Skala erscheint in der Galaxienkorrelationsfunktion als Peak bei:

$$\xi_{\text{gal}}(r) \propto \frac{\sin(r/r_{\text{BAO}})}{r/r_{\text{BAO}}} \cdot r^{-(3-D_f)} \quad (13)$$

1.7 Dunkle Energie als fraktale Skalenänderung

Was als Dunkle Energie interpretiert wird, ist die fortgesetzte fraktale Entwicklung:

Effektive Dunkle-Energie-Dichte:

$$\rho_{\Lambda}^{\text{eff}} = \frac{3H_0^2}{8\pi G} \cdot \left(\frac{\dot{\xi}}{\xi H_0} \right)^2 \approx 0.7\rho_c \quad (14)$$

Zustandsgleichung:

$$w_{\text{eff}} = -1 + \frac{2}{3} \cdot \frac{\ddot{\xi}\xi}{\dot{\xi}^2} \approx -0.98 \quad (15)$$

Diese Werte stimmen mit Beobachtungen überein ($\Omega_{\Lambda} \approx 0.7$, $w \approx -1$), erfordern aber keine mysteriöse Energieform.

1.8 Strukturbildung ohne Inflation

Die scheinbare Homogenität und Flachheit entstehen natürlich aus fraktaler Selbstähnlichkeit:

Horizontproblem: Gelöst durch fraktale Nichtlokalität – alle Punkte sind auf kleinen Skalen verbunden

Flachheitsproblem: Die fraktale Metrik ist intrinsisch flach ($k = 0$) auf allen Skalen

Monopolproblem: Fraktale Topologie erlaubt keine topologischen Defekte mit gefährlicher Dichte

1.9 Testbare Vorhersagen

1. Abweichungen vom Standard- Λ CDM:

$$\frac{\Delta C_l}{C_l^{\Lambda\text{CDM}}} = \xi \cdot \ln \left(\frac{l}{l_0} \right) \quad \text{für } l > 100 \quad (16)$$

Bei $l = 2000$: $\Delta C_l/C_l \approx 0.1\%$

2. Zeitvariation fundamentaler Konstanten:

$$\frac{\dot{\alpha}}{\alpha} = -2 \frac{\dot{\xi}}{\xi} \approx 4.5 \times 10^{-18} \text{ s}^{-1} \quad (17)$$

Testbar mit Atomuhren und Quasarabsorption.

3. Fraktale Korrelationen in LSS:

$$P(k) = P_{\Lambda\text{CDM}}(k) \cdot [1 + \xi \cdot (k/k_0)^{-D_f+3}] \quad (18)$$

Für $k_0 = 0.1 \text{ h/Mpc}$: Abweichungen bei kleinen k .

1.10 Vergleich mit Standard- Λ CDM

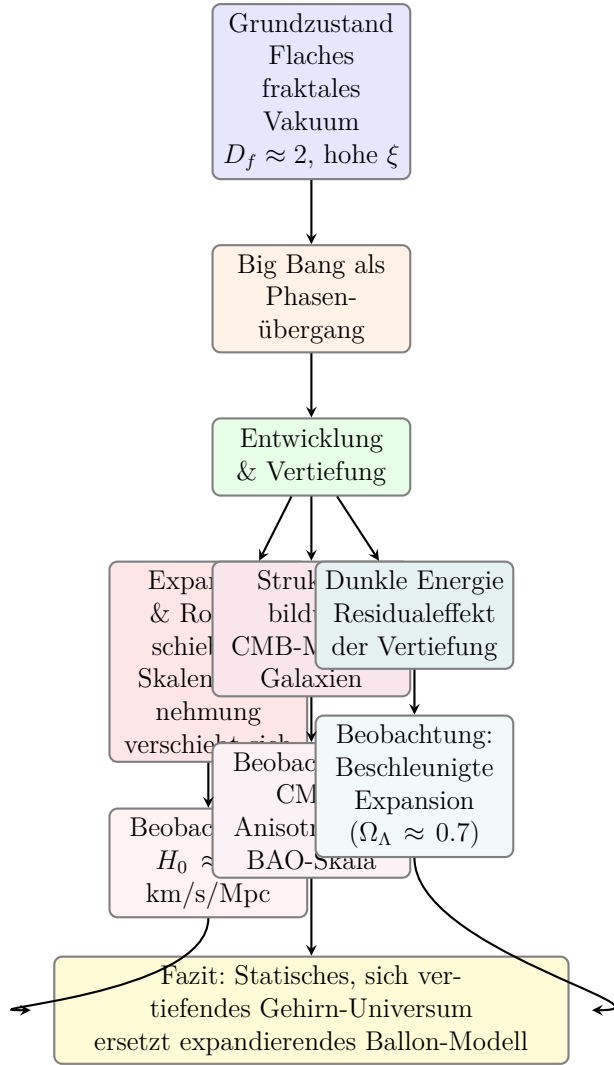
Standard- Λ CDM	Fraktale T0-Kosmologie
Raum expandiert physikalisch	Raum ist statisch, fraktale Tiefe ändert sich
Big Bang: Singularität	Big Bang: Phasenübergang
Dunkle Materie: Teilchen	Dunkle Materie: Fraktale Geometrie
Dunkle Energie: Konstante Λ	Dunkle Energie: Fraktale Skalenentwicklung
Inflation nötig für Homogenität	Fraktale Selbstähnlichkeit garantiert Homogenität
6+ freie Parameter	1 Parameter: $\xi_0 = \frac{4}{3} \times 10^{-4}$
Horizonte durch kausale Verzögerung	Fraktale Nichtlokalität verbindet alle Punkte
Rotverschiebung: Doppler-Effekt	Rotverschiebung: Fraktale Skalenänderung

1.11 Zeitliche Entwicklung in T0

1. **Frühe fraktale Ära** ($t < 10^{-32}$ s): $\xi \approx \xi_0$, $D_f \approx 3 - \xi_0$
2. **Strahlungs-ähnliche Phase** (10^{-32} s $< t < 4.7 \times 10^4$ Jahre): ξ langsam abnehmend
3. **Materie-ähnliche Phase** (4.7×10^4 Jahre $< t < 9.8 \times 10^9$ Jahre): $\dot{\xi}/\xi$ annähernd konstant
4. **Skalenänderungs-dominiert** ($t > 9.8 \times 10^9$ Jahre): $\dot{\xi}/\xi$ dominiert Energiebilanz

1.12 Das Universum als sich vertiefendes Gehirn: Eine narrative Synthese

Die formale mathematische Beschreibung der T0-Kosmologie findet ihre vollständigste und intuitivste Analogie im Bild eines sich entwickelnden Gehirns. Dieses poetische, aber wissenschaftlich fundierte Bild fasst die Essenz der Theorie zusammen:



Die Gehirn-Analogie vertieft sich in mehreren Dimensionen:

- **Windungen statt Expansion:** Ein sich entwickelndes Gehirn wächst nicht einfach als Ganzes, sondern bildet komplexe Furchungen und Windungen aus, die seine Oberfläche bei konstantem Volumen dramatisch vergrößern. Das T0-Universum expandiert nicht – es *vertieft* sich. Die fraktale Dimension $D_f = 3 - \xi(t)$ beschreibt genau diese zunehmende Komplexität und Oberfläche der Raumzeit.
- **Neuronales Netz & Kosmisches Netz:** Die großräumige Struktur des Universums mit ihren Galaxienfilamenten und Voids ist kein Zufallsprodukt der Gravitation, sondern ein stehendes fraktales Muster, das den neuronalen Verbindungen im Gehirn verblüffend ähnelt. Die Gleichung $\delta\rho/\rho_0 = \xi \cdot \sum_n \cos(2\pi|\vec{x} - \vec{x}_n|/\lambda_n)/|\vec{x} - \vec{x}_n|^{D_f/2}$ beschreibt diese kosmischen Neuronen als Resonanzen im Vakuumsubstrat.
- **Informationsverarbeitung:** Ein Gehirn verarbeitet Sinneseindrücke zu Gedanken. Das T0-Vakuum verarbeitet über die Time-Mass-Dualität $T(x, t) \cdot m(x, t) = 1$ reine Zeitstruktur (θ) in manifeste Masse/Energie (ρ) und zurück. Der Big-Bang-Phasenübergang war der Moment, in dem das universale Gehirn zu denken begann – von einer ungeordneten Phasenfluktuation zu einer kohärenten, strukturierten Realität.

- **Selbstähnlichkeit:** Wie ein Gehirn auf verschiedenen Skalen selbstähnlich organisiert ist (von Synapsen über Neuronengruppen bis zu ganzen Hirnarealen), ist das T0-Universum durch die fraktale Dimension D_f auf allen Skalen selbstähnlich – von der Planck-Länge bis zum kosmischen Horizont.
- **Horizontproblem als globale Vernetzung:** Ein Gehirn hat trotz seiner Größe keine Horizontprobleme – Informationen sind durch Vernetzung global verfügbar. Die fraktale Nichtlokalität des T0-Vakuums sorgt für instantane Korrelationen auf allen Skalen, was die erstaunliche Homogenität des CMB erklärt.
- **Dunkle Energie als Metabolismus:** Die beobachtete beschleunigte Expansion (Dunkle Energie) ist kein mysteriöser Antrieb, sondern der energetische Grundumsatz des sich vertiefenden Systems – der Residualeffekt $\rho_\Lambda^{\text{eff}} = (3H_0^2/8\pi G) \cdot (\dot{\xi}/\xi H_0)^2$, analog zum Stoffwechsel eines aktiven Gehirns.

1.13 Schlussfolgerung: Ein neues Paradigma der Realität

Die fraktale T0-Kosmologie revolutioniert unser Verständnis des Universums durch eine radikale Uminterpretation:

**Wir leben nicht in einem expandierenden Ballon,
sondern in einem sich vertiefenden, faltenden, selbstähnlichen Gewebe –
einem kosmischen Gehirn, dessen Windungen sich durch die
fraktale Time-Mass-Dualität ständig weiter ausprägen.**

Die beobachtete Expansion ist lediglich unser Perspektiveneffekt, während wir in diese zunehmende fraktale Tiefe hinein-zoomen. Diese Sichtweise eliminiert Singularitäten, Dunkle Energie als separate Entität und reduziert die gesamte Kosmologie auf ein einziges, elegantes geometrisches Prinzip: die dynamische Selbstorganisation eines fraktalen Vakuums.

Die Fundamentale Fraktalgeometrische Feldtheorie (FFGFT, früher T0-Theorie) zeigt damit, dass ein statisches, sich vertiefendes Universum mit dynamischer Geometrie alle Beobachtungen der modernen Kosmologie erklären kann – ohne tatsächliche Expansion, ohne zusätzliche Komponenten wie Dunkle Materie, und mit nur einem fundamentalen Parameter: $\xi_0 = \frac{4}{3} \times 10^{-4}$.